

51/2-77

ОБЪЕДИНЕННЫЙ  
ИНСТИТУТ  
ЯДЕРНЫХ  
ИССЛЕДОВАНИЙ

ДУБНА



B-676

10/1-77

9 - 10104

В.И.Волков, И.А.Елисеева, Л.А.Леонов,  
В.Ф.Сиколенко

СИСТЕМА ИЗМЕРЕНИЯ  
ПРОСТРАНСТВЕННЫХ ХАРАКТЕРИСТИК ПУЧКА,  
ВЫВЕДЕННОГО ИЗ СИНХРОФАЗОТРОНА ЛВЭ

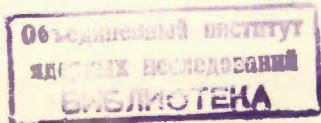
**1976**

9 - 10104

В.И.Волков, И.А.Елисеева, Л.А.Леонов,  
Б.Ф.Сиколенко

СИСТЕМА ИЗМЕРЕНИЯ  
ПРОСТРАНСТВЕННЫХ ХАРАКТЕРИСТИК ПУЧКА,  
ВЫВЕДЕННОГО ИЗ СИНХРОФАЗОТРОНА ЛВЭ

*Направлено в ПТЭ*



Волков В.И. и др.

9 - 10104

Система измерения пространственных характеристик пучка, выведенного из синхрофазотрона ЛВЭ

Описана система измерения пространственных характеристик выведенного пучка в шести точках трассы. Определяются мгновенные и интегральные значения его профиля. Основной режим работы измерителей - на линии с ЭВМ с выводом информации на графический дисплей. Предусмотрена возможность контроля результатов измерений с помощью запоминающего осциллографа, дополненного вертикальной разверткой.

Система разработана в Лаборатории высоких энергий ОИЯИ.

Препринт Объединенного института ядерных исследований

Дубна 1976

Описываемая система входит в комплекс устройств контроля характеристик и управления параметрами пучка медленного вывода из синхрофазотрона ОИЯИ. Принцип построения комплекса в целом и задачи системы измерений пространственных характеристик как части этого комплекса описаны в /1/. В настоящей работе показаны основные характерные особенности этой системы.

Контроль пространственных характеристик выведенного пучка производится в шести точках трассы вывода и сводится к измерению распределения плотности пучка в пространстве с помощью многопроволочных ионизационных камер /2/ в горизонтальном и вертикальном направлениях. При этом обеспечиваются следующие режимы работы:

1/ многократные измерения профиля пучка  $10 \div 15$  раз/ в течение времени вывода  $300 \div 500$  мс /“мгновенный профиль“/ для изучения эволюции его пространственных характеристик в указанном интервале времени;

2/ измерение так называемого “интегрального“ профиля, характеризующего результирующую форму пучка к концу вывода с учетом всех изменений его формы и положения, происходивших в указанном интервале времени.

Помимо основного рабочего режима, предусмотрен так называемый режим “настройки“, в котором осуществляется контроль работоспособности всей аппаратуры /без проволочных камер/ при имитации работы ускорителя. При этом генерируется некая стандартная форма профиля пучка, которая позволяет проверить все

характеристики измерителей и программы ЭВМ, работающей на линии с системой измерений.

Упомянутые возможности системы обеспечиваются некоторыми специфическими режимами работы ее аппаратуры.

Во-первых, для обеспечения возможности измерений "мгновенного" профиля пучка ионизационные проволочные камеры датчиков работают в токовом режиме. Вместе с этим постоянная времени входной цепи усилителя уменьшается за счет известного приема: уменьшения емкости соединительного кабеля путем подачи на его оплетку напряжения, близкого по величине к входному /рис. 1/.

Практически это достигается соединением каждой проволочки камеры с усилителями малогабаритными коаксиальными кабелями,ключенными по схеме рис. 1 и помещенными в общий заземленный экран. Результирующая постоянная времени измерительной цепи при таком включении не превышает  $1 \div 2$  мс. Описанный прием реализуется лишь при числе усилителей, равном числу проволочек в камере, что влечет за собой проблему выравнивания коэффициентов усиления в канале каждой проволочки. Однако использование операционных усилителей в режиме неинвертирующих повторителей<sup>/3/</sup> в качестве входных решает этот вопрос.

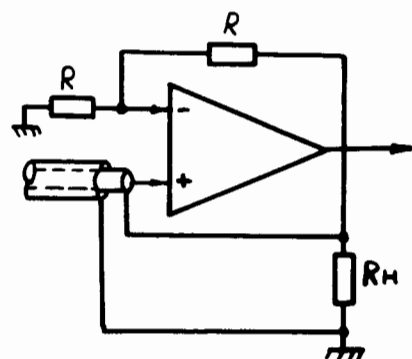


Рис. 1. Схема включения кабеля, соединяющего электрод камеры с электрометрическим усилителем.

Во-вторых, в целях совместимости во времени результатов измерений пространственных характеристик пучка во всех шести точках интервал времени между началом и концом съема информации с камер не должен превышать  $1,5 \div 2$  мс /поскольку в названном отрезке времени изменениями характеристик пучка можно пренебречь/.

В-третьих, основным режимом является работа измерителей на линии с ЭВМ, которая задает момент начала опроса, синхронизованный с началом вывода, интервал между опросами /измерениями/ и их количество в течение вывода. В этом случае вся информация поступает в ЭВМ и результаты ее обработки выводятся на графический дисплей. Однако предусмотрен режим работы аппаратуры, в котором опрос проволочных камер осуществляется от внутреннего генератора с выводом информации на запоминающий осциллограф с бистабильной трубкой. При этом возможно осуществление как режимов многократных /десять/ измерений профиля в процессе одного вывода, так и режима многократной записи циклов /10 циклов/ на экране осциллографа без стирания для изучения эволюции профиля пучка от цикла к циклу /ускорителя/. Для осуществления этих режимов аппаратура содержит блок вертикальной развертки /мультистрассер/, смещающий изображение по вертикали после каждого цикла записи на осциллографе. Обеспечена возможность последовательного подключения осциллографа к измерителям в каждой контролируемой точке трассы вывода.

В-четвертых, режим измерения "интегрального" профиля может быть обеспечен как вычислением с помощью ЭВМ средних значений размеров пучка за цикл /на основании обработки результатов некоторого заданного количества измерений "мгновенных" профилей/, так и подключением к каждой проволочке камеры выбранного измерителя, интегрирующих емкостей.

В-пятых, в режиме "настройка" реализуется полная имитация работы измерителей профиля как на линии с ЭВМ, так и с осциллографом при измерении стандартного профиля. В этом режиме возможна проверка функциони-

рования всей аппаратуры, отладка программ, проверка коэффициентов усиления и т.п.

Блоки электрометрических усилителей соединены с проволочными камерами кабелями длиной не более 5 м и размещены в контролируемых точках вдоль трассы вывода. Здесь же находятся блоки электронных коммутаторов, осуществляющих последовательный опрос проволочек в обеих плоскостях. Регистрирующая аппаратура установлена в зале управления ускорителем на расстоянии 500 м от измерительных усилителей. Блок-схема, отражающая отмеченные выше особенности аппаратуры, приведена на рис. 2, где У1-У3О - усилители проволочных электродов одной из плоскостей камеры; К1-К3О - линейные ключи; счетчик емкостью  $2^6$  и дешифратор образуют электронный коммутатор, последовательно опрашивающий электроды плоскостей камеры. Результат опроса в виде гистограммы поступает на ЭВМ или осциллограф.

Как уже отмечалось выше, управление измерителем может осуществляться от ЭВМ или от внутреннего генератора. В последнем случае импульсы опроса поступают на коммутатор от генератора Г1. Режим опроса, обеспечивающий многократное измерение внутри одного цикла вывода пучка или многократное поцикловое измерение профиля, определяется схемой управления режимом опроса, содержащей триггеры Т1, Т2, регулируемые задержки D1, D2 и ключи К61-К62.

Схема работает следующим образом /рис. 2/. Импульс "старт", соответствующий началу медленного вывода, переводит триггер Т1 в положение, открывающее ключ К62. Одновременно выработанный этим триггером сигнал поступает на блок регулируемой задержки D1 /задержка на сканирование/ и спустя установленное время через схему ИЛИ и уже открытый ключ К62 подается на вход "разрешение" триггера Т2, который, в свою очередь, открывает ключ К61, что обеспечивает возможность поступления импульсов генератора Т1 на управление счетчиком коммутатора  $2^6$ . Последнее положение счетчика является сигналом запрета, который приходит на триггер Т2 и схему задержки D2. Дальнейшее функционирование схемы определяется положением переключателя П1.

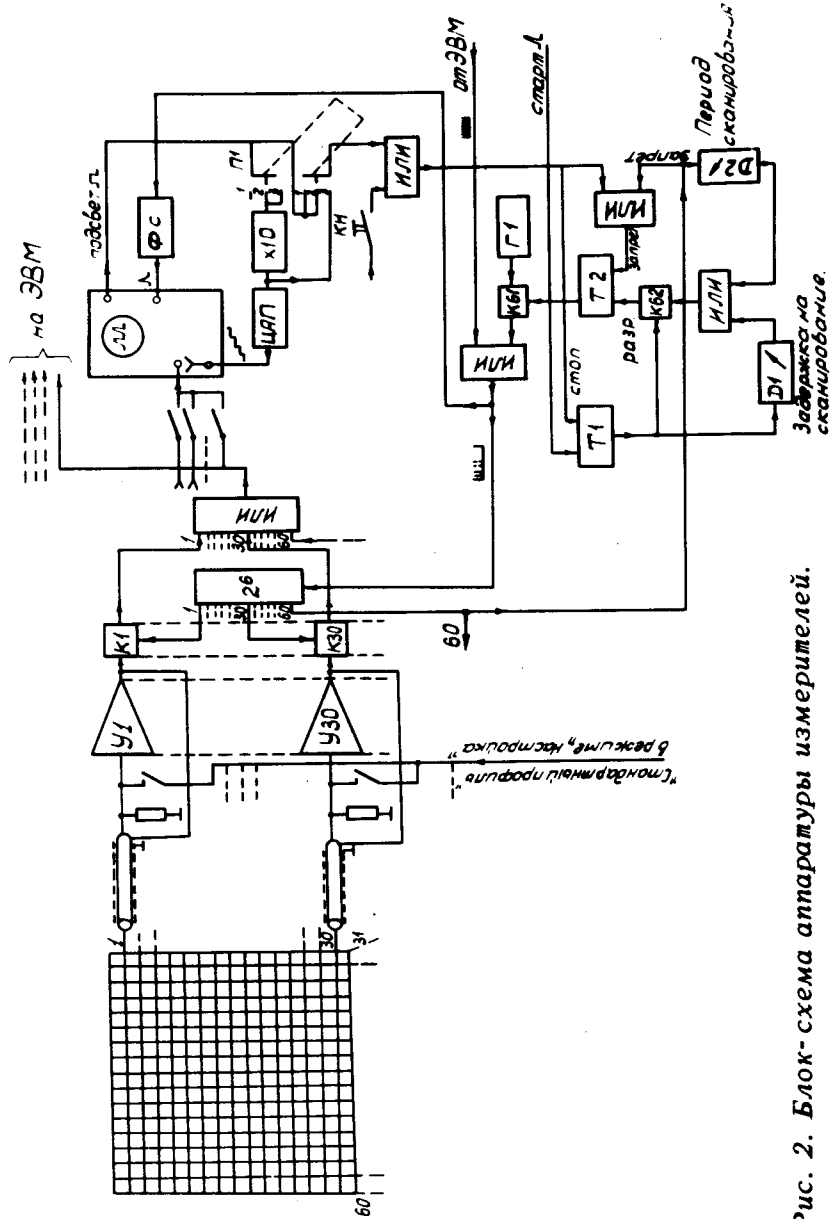


Рис. 2. Блок-схема аппаратуры измерителей.

В положении 1 /“однократно“/ срез импульса подсвета развертки осциллографа /развертка запускается первым импульсом, прошедшим на счетчик  $2^6$ / проходит через схему ИЛИ на вход “стоп” триггера T1 и вход “запрет” триггера T2; ключи K62 и K61 закрываются, опрос счетчика  $2^6$  прекращается, и на экране осциллографа фиксируется “однократный” профиль выведенного пучка.

В положении 2 /“поцикловая“ запись/ функционирование схемы такое же, только на один из дифференциальных входов усилителя осциллографа поступает постоянное напряжение, смещающее луч по вертикали пропорционально числу циклов, отсчитываемых /в пределах десяти/ счетчиком кадровой развертки /x10/.

В положении 3 переключателя П1 сигнал на вход “стоп” триггера T1 может поступить лишь после десятого цикла срабатывания развертки осциллографа /что приведет к прекращению поступления импульсов на счетчик  $2^6$ / . До этого момента функционирование происходит следующим образом: запрещающий сигнал, соответствующий последнему положению счетчика  $2^6$ , через триггер T2 закрывает K61 /опрос прекращается/ и спустя время, определяемое задержкой D2 /период сканирования/, поступает через ключ K62 на вход “разрешение” триггера T2. Таким образом, опрос счетчика  $2^6$  будет повторяться с периодом, определяемым задержкой D2 , до тех пор, пока на триггер T1 не поступит сигнал “стоп“, что приведет к закрыванию ключа K62. Как было отмечено выше, сигнал “стоп“ вырабатывается десятым импульсом счетчика кадровой развертки /x10/.

Цифровая часть измерителя /счетчики, дешифраторы, триггеры и т.п./ выполнена на микросхемах отечественного или чехословацкого производства (TESLA) . Аналоговая часть заслуживает более подробного рассмотрения.

Электрометрические усилители были выполнены в нескольких вариантах. Схема повторителя /рис. 3/ обеспечивает высокий коэффициент передачи по напряжению /около 0,995/, высокую идентичность коэффициентов передачи, но содержит много элементов, что является существенным недостатком при необходимости много-

Рис. 3. Принципиальная схема повторителя с высоким выходным сопротивлением.

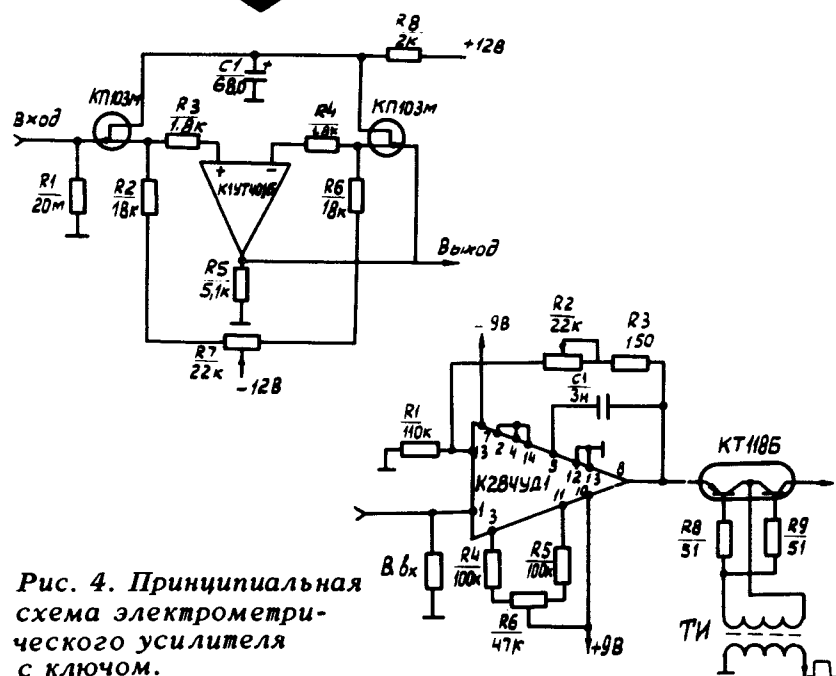


Рис. 4. Принципиальная схема электрометрического усилителя с ключом.

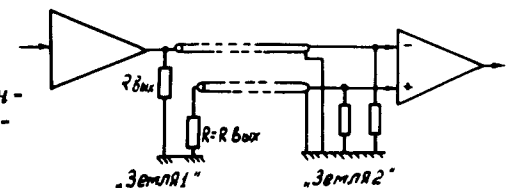
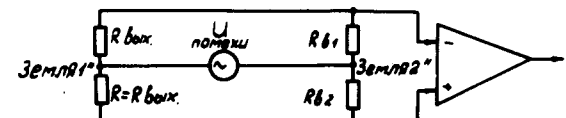


Рис. 5. Схема компенсации помех, вызываемых разнопотенциальными землями.



кратного повторения /в нашем случае для шести датчиков необходимо 360 таких повторителей/.

Лучшие результаты были получены при использовании микросхем К28УД1 и 1КО11 /либо КТ118/, позволив-

ших при минимальном количестве элементов построить канал усилитель - ключ с линейной характеристикой от единиц милливольт до 5 вольт /рис. 4/.

К недостаткам схемы следует отнести наличие импульсного трансформатора, однако вследствие сравнительно высокой частоты опроса каналов /20 - 100 кГц/ конструктивное выполнение трансформатора не вызывает затруднений.

Как было отмечено выше, протяженность линии связи между измерительными усилителями и регистрирующей аппаратурой составляет 500 м, что является причиной возникновения помех вследствие разнопотенциальных "земель" в местах установки названной аппаратуры. Это явление неизбежно при наличии таких мощных потребителей тока, как силовые магниты кольца ускорителя, элементы магнитной оптики канала вывода пучка и т.п., сконцентрированных в месте установки измерительной части аппаратуры. Для борьбы с помехами такого вида обычно используются выходные усилительные устройства с так называемым "плавающим" потенциалом, либо производится передача информации по двухпроводной линии /скрученная пара/. Нами с успехом использовалась схема передачи сигнала по однопроводной линии, но с применением вспомогательного кабеля /рис. 5/. Ко второму входу дифференциального усилителя в месте приема информации подключен кабель, нагруженный с передающей стороны на сопротивление  $R$ , равное выходному сопротивлению передающего усилителя мощности  $R_{\text{вых}}$ . В этом случае подбором параметров компенсирующей цепи дифференциального усилителя можно добиться равенства токов, возникающих за счет разности потенциалов  $U$  между "землями" в точках передачи и приема информации. Описанная схема обеспечивает эффективное подавление помех, позволяя в то же время существенно упростить схему усилителей мощности, работающих на линию передачи.

На рис. 6 приведена осциллограмма профиля выведенного пучка, полученная в четырех последовательных циклах ускорителя; рис. 7 иллюстрирует информацию о профиле выведенного пучка, полученную с помощью вычислительной машины.

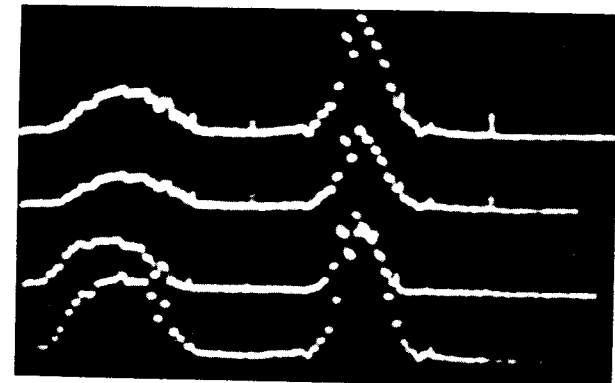
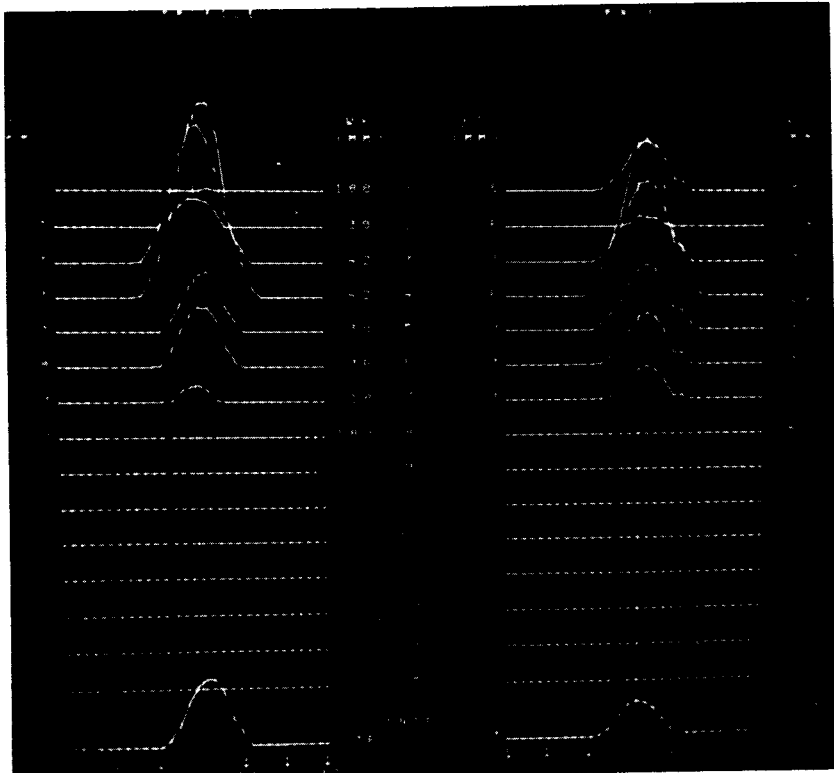


Рис. 6. Осциллограмма профиля выведенного пучка, полученная в автономном режиме для четырех последовательных циклов ускорителя /слева - в горизонтальной плоскости, справа - в вертикальной/. Масштаб по горизонтали: 50 мм/см.

Таким образом, с помощью разработанной аппаратуры возможно получение информации о размере и положении выведенного пучка. Для измерения названных параметров при малых уровнях интенсивности / $10^5$  -  $10^8$  частиц/цикл/ предусматривается перевод датчиков в режим работы пропорциональных камер /4/.

В заключение авторы считают своим приятным долгом выразить благодарность Ю.В.Заневскому, В.Д.Пешехонову, В.П.Пугачевичу и В.И.Черникову за конструирование и изготовление многопроволочных ионизационных камер; Л.Г.Ефимову, И.Ф.Колпакову, И.И.Куликову, В.А.Смирнову, Е.В.Черных за разработку системы сопряжения описанной аппаратуры с ЭВМ и большой вклад в создание программного обеспечения.

Авторы особенно признательны И.Б.Иссинскому за предложенную тему, плодотворные обсуждения, постоянный интерес к работе и помошь в постановке эксперимента.



*Рис. 7. Информация о профиле пучка, полученная с помощью ЭВМ. Приведены шесть мгновенных значений профиля /слева - в горизонтальной, справа - в вертикальной плоскостях/, полученных в течение вывода пучка из ускорителя. В нижней части рисунка приведены средние за время вывода значения профиля для обеих плоскостей.*

#### *Литература*

1. *В.И. Волков, И.А. Елисеева, И.Б. Иссинский, И.Ф. Колпаков, В.Ф. Сиколенко, В.А. Смирнов. Сообщение ОИЯИ, 9-8910, Дубна, 1975.*
2. *F.Hornstra, M.Knott, C.Swoboda, A.Brescia. IEEE Trans.Nucl.Sci., NS-16, part I, 223 /1969/.*
3. *В.Л. Шило. Линейные интегральные схемы. Сов. радио, Москва, 1974.*
4. *C.K.Hargrove, J.P.Legaut et al. Nucl. Instr. and Meth., 113, 141-145 /1973/.*

*Рукопись поступила в издательский отдел  
14 сентября 1976 года.*